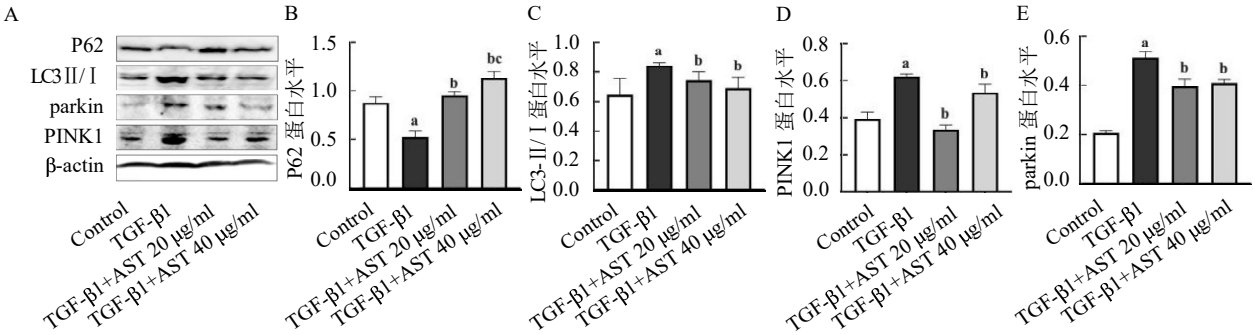
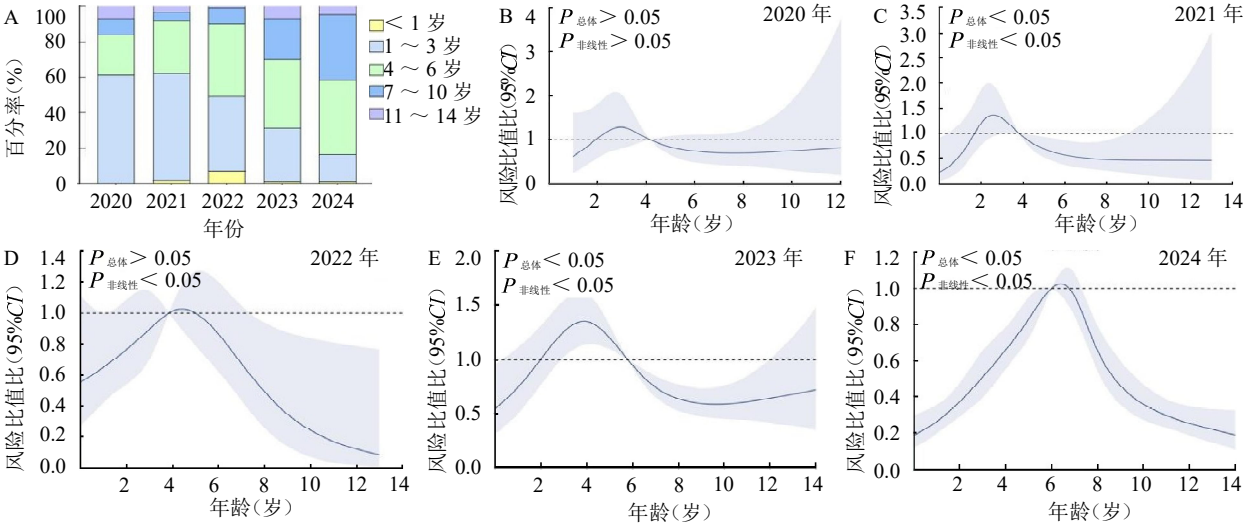
**洪梦琪，李新科，赵宇，等.虾青素通过调控线粒体自噬改善 HK-2 细胞纤维化**（见正文第 1548 页）




注：A ～ E 为 Western 印迹法检测 HK-2 微管相关蛋白轻链 3（LC3）-Ⅱ/Ⅰ、P62、丝氨酸/苏氨酸蛋白激酶（PINK1）及帕金蛋白（parkin）蛋白的表达。与 Control 组相比，a$t$≥2.97，均 $P$ ＜ 0.05；与 TGF-β1 组相比，b$t$≥2.28，均 $P$ ＜ 0.05；与 TGF-β1+AST 20 μg/ml 组相比，c$t$=4.04，均 $P$ ＜ 0.05

**图 1　虾青素（AST）对转化生长因子-β1（TGF-β1）诱导的人肾小管上皮细胞（HK-2）线粒体自噬的影响**

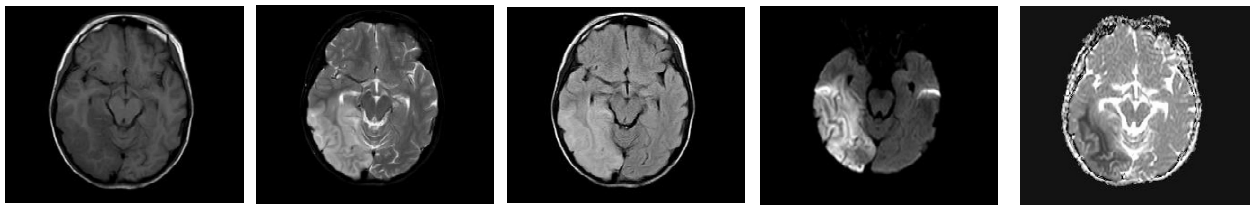
**孙倩，羊牡丹，毛梦璐，等.宁波城区 2020—2024 年儿童呼吸道腺病毒的流行病学特征分析**（见正文第 1595 页）




注：A 为各年份不同各年龄组 ADV 患儿占比，B ～ F 分别为各年份 ADV 感染风险与患儿年龄之间的非线性关系。ADV 为腺病毒

**图 2　ADV 感染各年龄组比例变化及感染风险比较**

**李红玉，龙丹.儿童线粒体脑肌病伴高乳酸血症和卒中样发作综合征 1 例报告**（见正文第 1664 页）




注：MRI 示右侧丘脑及右侧枕叶颞叶见片状异常信号影，右侧枕叶颞叶皮层肿胀，$T_1$W1 呈稍低信号，$T_2$W1 呈稍高信号，FLAIR 呈稍高信号，DWI 呈高信号，ADC 图信号减低，病变区脑回肿胀、脑沟变窄，右侧脑室后角为主受压变窄，中线结构居中，双侧基底节区见较对称斑片状 $T_1$W1 稍高 $T_2$W1 低 FLAIR 稍高信号

**图 3　颅脑 MRI**

**张美琪，陈银姣，黎明煌，等.原发性前列腺尿路上皮癌 1 例报告并文献复习**（见正文第 1667 页）

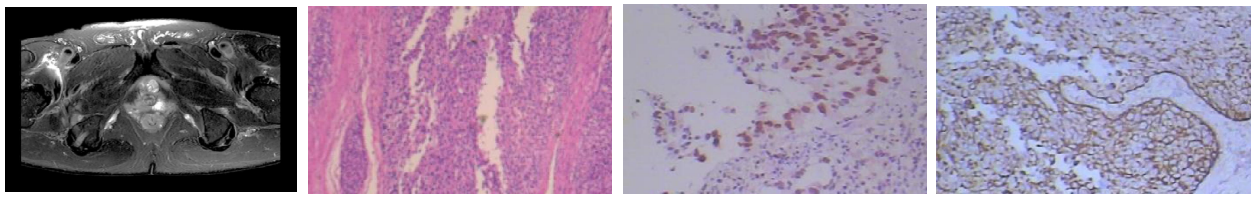


**图 4　前列腺 MRI**

**图 5　前列腺穿刺术后病理（HE，×20）**

**图 6　前列腺癌根治切除术后病理（免疫组化染色，×40）**

**图 7　前列腺癌根治切除术后病理（免疫组化染色，×20）**